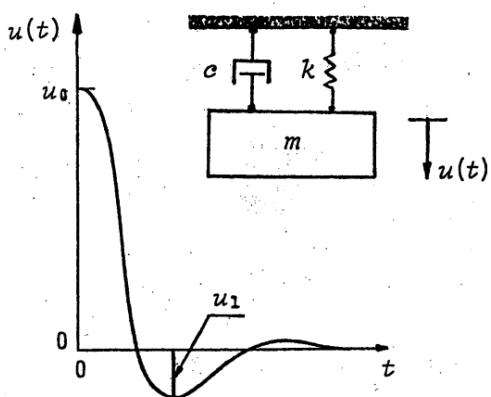


1. An automobile is crudely idealized as a lumped mass m supported on a spring-damper system as shown in Figure. The automobile travels at constant speed v over a road whose roughness is known as a function of position along the road. Derive the equation of motion.



1. Kuvan systeemi on levossa staattisessa tasapainoasemassaan, josta siirtymä u mitataan. Systeemi vapautetaan levosta alkuasemasta $u = u_0$. Määritä kuvassa esitetyn siirtymän u_1 arvo sekä värähtelyn logaritmisen dekrementti. $m = 3 \text{ kg}$, $k = 108 \text{ N/m}$, $c = 18 \text{ Ns/m}$
- Vast: $-0,1630 u_0$, 3,63

Initial displacement u_0 is given to the viscously damped system. Then the mass point is released. Define the displacement u_1 and logarithmic decrement.

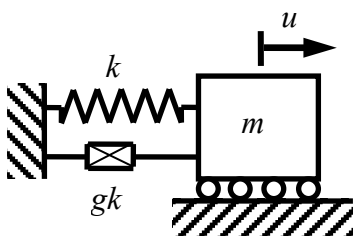
2. Kuvan värähtelijää kuormittaa harmoninen voima

$$F(t) = \hat{F} \sin(\Omega t)$$

Värähtelijän liikettä vaimentaa rakenteellinen vaimennus, jonka vaimennuskerroin g . Totea ensin, että vaimennusvoima on

$$F_D = -\frac{gk}{\Omega} \dot{u}$$

Esitä värähtelijän likeyhtälöt sekä määritä pysyvien värähtelyjen vaste. Miten rakenteellinen vaimennus poikkeaa viskoosisesta vaimennuksesta vahvistuskertoimen osalta?



Harmonic force $F(t) = \hat{F} \sin(\Omega t)$ is acting on the vibration system. The system has rate-independent linear damping.

Determinate equation of motion and steady state response. How structural damping differs from viscously damping?

Problem 1.19

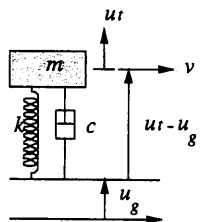


Fig. 1.19(a)



Fig. 1.19(b)

Displacement u^t is measured from the static equilibrium position under the weight mg .

From the free-body diagram in Fig. 1.19(b)

$$f_I + f_D + f_S = 0 \quad (a)$$

where

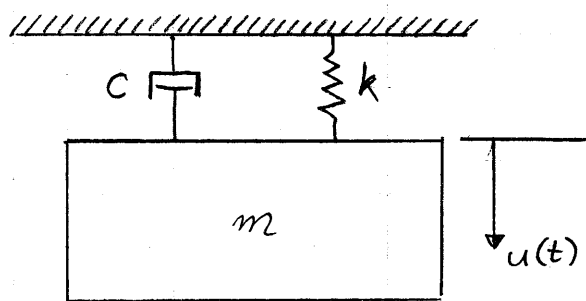
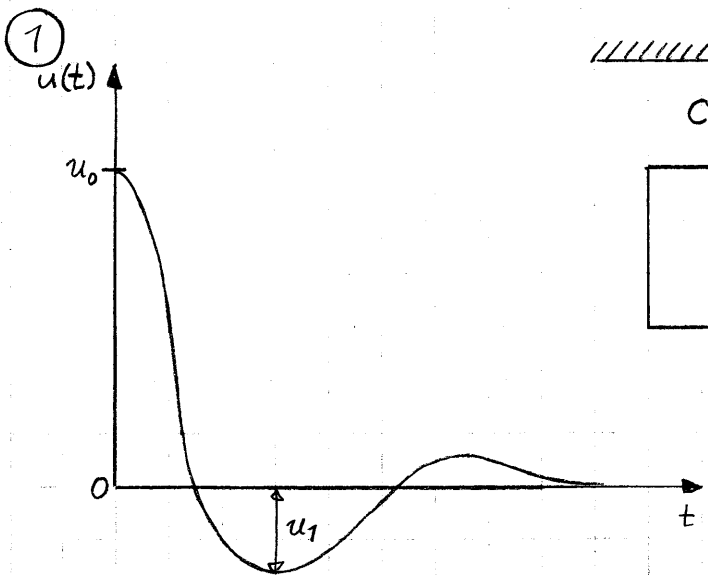
$$\begin{aligned} f_I &= m\ddot{u}^t \\ f_D &= c(\dot{u}^t - \dot{u}_g) \\ f_S &= k(u^t - u_g) \end{aligned} \quad (b)$$

Substituting Eqs. (b) in Eq. (a) gives

$$m\ddot{u}^t + c(\dot{u}^t - \dot{u}_g) + k(u^t - u_g) = 0$$

Noting that $x = vt$ and transferring the excitation terms to the right side gives the equation of motion:

$$m\ddot{u}^t + c\dot{u}^t + ku^t = c\dot{u}_g(vt) + ku_g(vt)$$



$$m = 3 \text{ kg}, \quad k = 108 \frac{\text{N}}{\text{m}}$$

$$C = 18 \frac{\text{Ns}}{\text{m}}$$

ominaiskulmatulo

$$\omega = \sqrt{\frac{k}{m}} = \sqrt{\frac{108}{3}} \frac{\text{rad}}{\text{s}} = 6 \frac{\text{rad}}{\text{s}}$$

kriittinen vaimennusvahio

$$c_k = 2m\omega = 2 \cdot 3 \cdot 6 \frac{\text{kg}}{\text{s}} = 36 \frac{\text{Ns}}{\text{m}}$$

suhteellinen vaimennusvahio

$$\zeta = \frac{c}{c_k} = \frac{18}{36} = 0,5$$

vaimennetun värähtelyän ominaiskulmatulo

$$\omega_d = \omega \sqrt{1 - \zeta^2} = 6 \cdot \sqrt{1 - 0,5^2} \approx 5,196 \frac{\text{rad}}{\text{s}}$$

vaimenevan ominaisvärähtelyn värähdyssäika

$$T_d = \frac{2\pi}{\omega_d} = \frac{2\pi}{5,196} \approx 1,209 \text{ s}$$

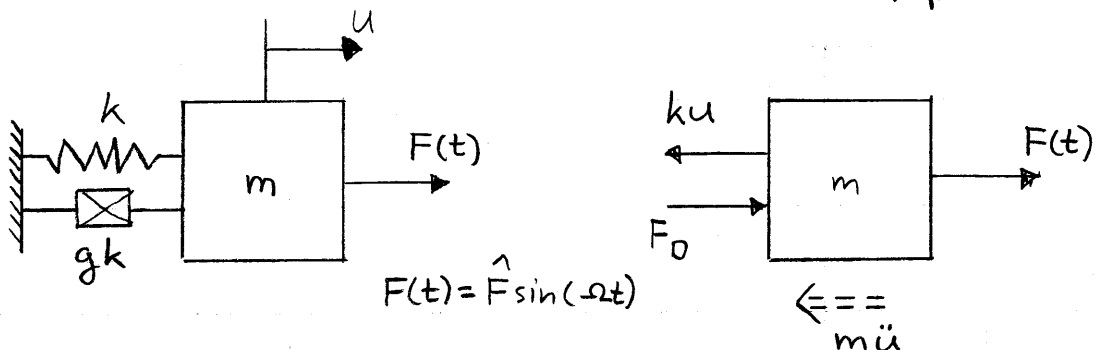
alkuehdot $u(0) = u_0$ ja $\dot{u}(0) = v_0 = 0$, kun $t = \frac{1}{2}T_d$

$$u_1 = u\left(\frac{1}{2}T_d\right) = e^{-\zeta\omega_d\frac{1}{2}T_d} \left(u_0 \cos\left(\frac{\omega_d T_d}{2}\right) + \frac{\zeta\omega_d u_0}{\omega_d} \sin\left(\frac{\omega_d T_d}{2}\right) \right)$$

$$\approx -0,1630 u_0$$

logaritmisen degramenti $\delta = \frac{2\pi\zeta}{\sqrt{1-\zeta^2}} = \frac{2\pi \cdot 0,5}{\sqrt{1-0,5^2}} \approx 3,63$

(2)



Harmonisessa värvähdyksessä liikkeessä

$$u = \hat{u} e^{i(\omega t + \phi)}$$

$$\dot{u} = i\omega \hat{u} e^{i(\omega t + \phi)} = i\omega u$$

$$u = \frac{\dot{u}}{i\omega}$$

Kimmisen systeemin rakenteellinen vaimennusvoima on kokemusten mukaan rakenteen kimmavoimiaan F_E verrannollinen ja vastukaiissauntainen materiaali-partikkelin nopeudelle \dot{u}

$$F_D = ig F_E = ig (-ku) = -igku = -igh \frac{\dot{u}}{i\omega} = -\frac{gk}{\omega} \dot{u}$$

Liikeyhtälöt

$$\sum F \rightarrow -ku - m\ddot{u} + F_D + F(t) = 0$$

$$-ku - m\ddot{u} - \frac{gk}{\omega} \dot{u} + F(t) = 0$$

$$m\ddot{u} + \frac{gk}{\omega} \dot{u} + ku = F(t) \quad ||:m$$

$$\ddot{u} + \frac{gk}{m} \dot{u} + \frac{k}{m} u = \frac{1}{m} \hat{F} \sin(\omega t) \quad , \quad \omega^2 = \frac{k}{m} \Leftrightarrow m = \frac{k}{\omega^2}$$

$$\ddot{u} + \frac{g\omega^2}{\omega} \dot{u} + \omega^2 u = \frac{1}{k} \omega^2 \sin(\omega t) + u_{st} = \frac{\hat{F}}{k}$$

$$\ddot{u} + \frac{g\omega^2}{\omega} \dot{u} + \omega^2 u = \omega^2 u_{st} \sin(\omega t)$$

(2)/1

Differentiaalilähtö on samaa muotoa kuin projun kaava (239)

$$(239) \Rightarrow \ddot{x} + 2\zeta\omega\dot{x} + \omega^2x = x_{st} \omega^2 \sin(\omega t)$$

nyt $2\zeta\omega = \frac{g\omega^2}{\omega}$, $2\zeta\frac{\omega}{\omega} = g$

vahvistuskerroin

$$(242) \Rightarrow \hat{A} = \frac{x_{st}}{\sqrt{[1 - (\frac{\omega}{\omega})^2]^2 + (2\zeta\frac{\omega}{\omega})^2}}$$

nyt $\hat{A} = \frac{u_{st}}{\sqrt{[1 - (\frac{\omega}{\omega})^2]^2 + g^2}}$

$$(243) \Rightarrow \varphi = \arctan \left[\frac{-2\zeta\frac{\omega}{\omega}}{1 - (\frac{\omega}{\omega})^2} \right]$$

nyt $\Rightarrow \phi = \arctan \left[\frac{-g}{1 - (\frac{\omega}{\omega})^2} \right]$

$$(241) \Rightarrow x_t = \hat{A} \sin(\omega t + \varphi)$$

nyt $\Rightarrow u_t = \hat{A} \sin(\omega t + \phi)$

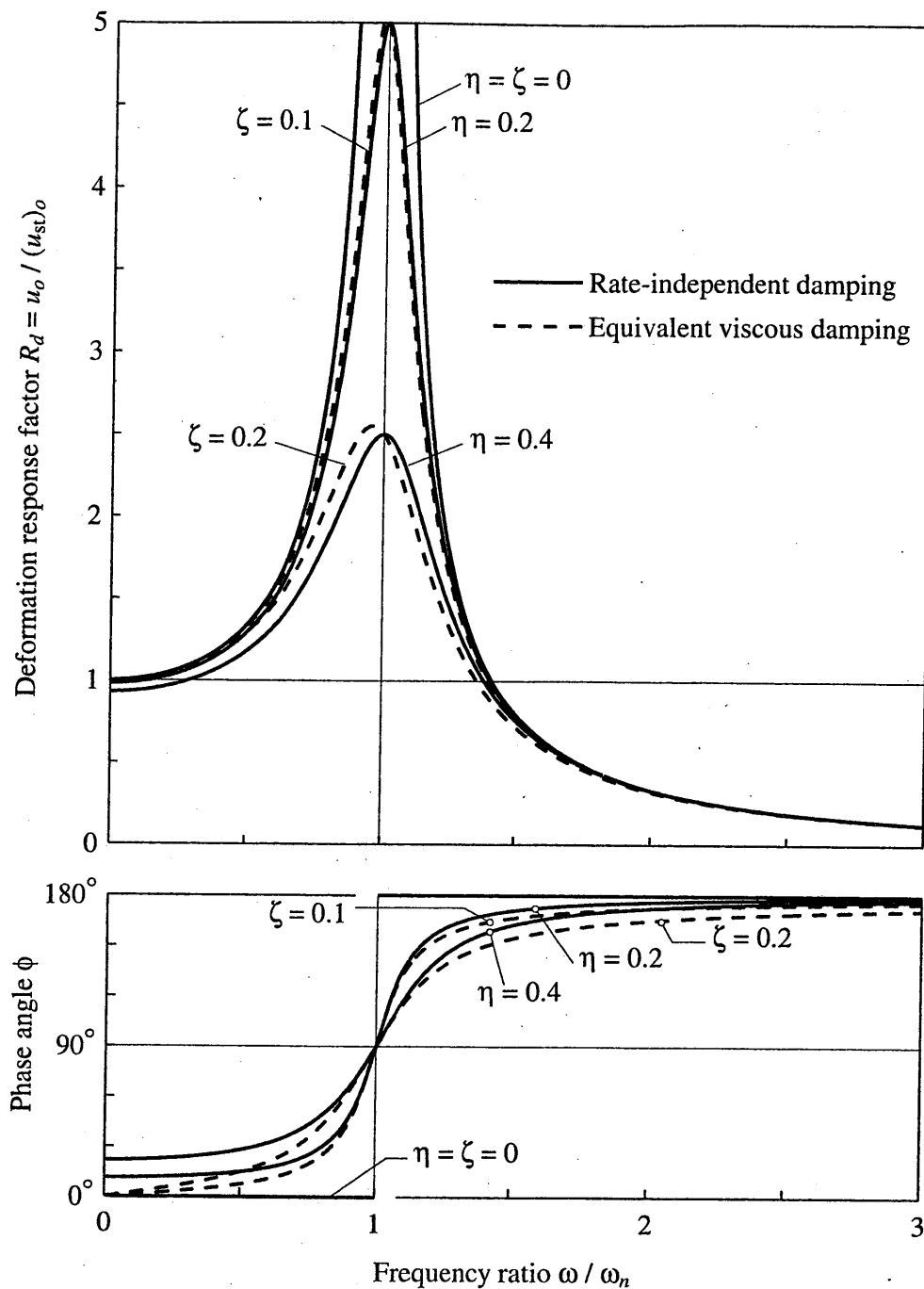
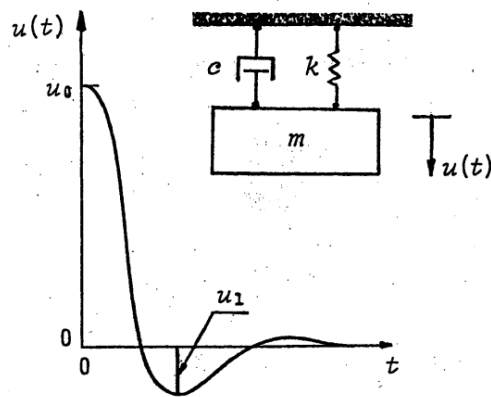
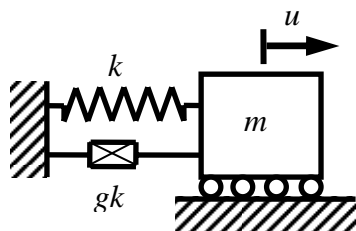


Figure 3.10.3 Response of system with rate-independent damping: exact solution and approximate solution using equivalent viscous damping.



1. Kuvan systeemi on levossa staattisessa tasa-painoasemassaan, josta siirtymä u mitataan. Systeemi vapautetaan levosta alkuasemasta $u = u_0$. Määritä kuvassa esitetyn siirtymän u_1 arvo sekä väärähtelyn logaritminen dekrementti. $m = 3 \text{ kg}$, $k = 108 \text{ N/m}$, $c = 18 \text{ Ns/m}$
- Vast: $-0,1630 u_0$, 3,63

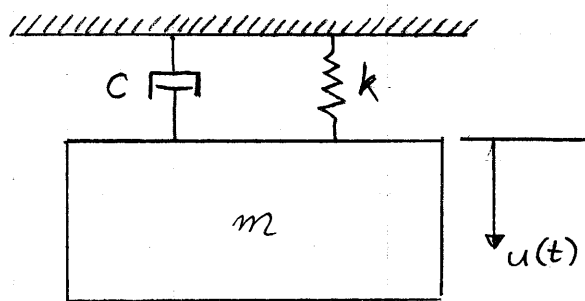
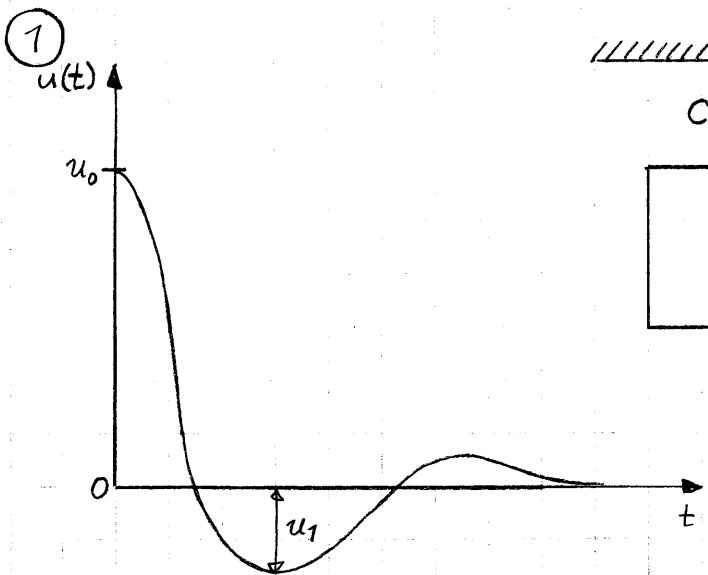


2. Kuvan väärähtelijää kuormittaa harmoninen voima $F(t) = \hat{F} \sin(\Omega t)$

Väärähtelijän liikettä vaimentaa rakenteellinen vaimennus, jonka vaimennuskerroin g . Totea ensin, että vaimennusvoima on

$$F_D = -\frac{gk}{\Omega} \dot{u}$$

Esitä väärähtelijän liikeyhtälöt sekä määritä pysyvien väärähtelyjen vaste. Miten rakenteellinen vaimennus poikkeaa viskoosisesta vaimennuksesta vahvistuskertoimen osalta?



$$m = 3 \text{ kg}, \quad k = 108 \frac{\text{N}}{\text{m}}$$

$$c = 18 \frac{\text{Ns}}{\text{m}}$$

ominaiskulmatulo

$$\omega = \sqrt{\frac{k}{m}} = \sqrt{\frac{108}{3}} \frac{\text{rad}}{\text{s}} = 6 \frac{\text{rad}}{\text{s}}$$

kriittinen vaimennusvahio

$$c_k = 2m\omega = 2 \cdot 3 \cdot 6 \frac{\text{kg}}{\text{s}} = 36 \frac{\text{Ns}}{\text{m}}$$

suhteellinen vaimennusvahio

$$\zeta = \frac{c}{c_k} = \frac{18}{36} = 0,5$$

vaimennetun värähtelyän ominaiskulmatulo

$$\omega_d = \omega \sqrt{1 - \zeta^2} = 6 \cdot \sqrt{1 - 0,5^2} \approx 5,196 \frac{\text{rad}}{\text{s}}$$

vaimenevan ominaisvärähtelyn värähdyssäika

$$T_d = \frac{2\pi}{\omega_d} = \frac{2\pi}{5,196} \approx 1,209 \text{ s}$$

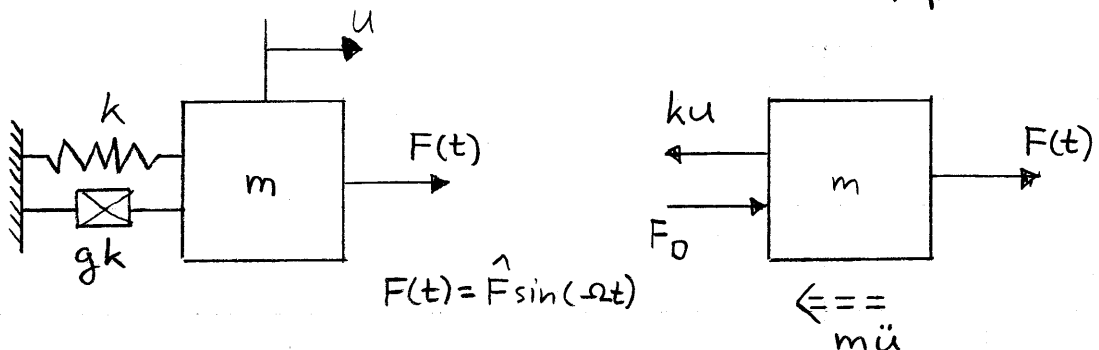
alkuehdot $u(0) = u_0$ ja $\dot{u}(0) = v_0 = 0$, kun $t = \frac{1}{2}T_d$

$$u_1 = u\left(\frac{1}{2}T_d\right) = e^{-\zeta\omega_d\frac{1}{2}T_d} \left(u_0 \cos\left(\frac{\omega_d T_d}{2}\right) + \frac{\zeta\omega_d u_0}{\omega_d} \sin\left(\frac{\omega_d T_d}{2}\right) \right)$$

$$\approx -0,1630 u_0$$

logaritmisen degramenti $\delta = \frac{2\pi\zeta}{\sqrt{1-\zeta^2}} = \frac{2\pi \cdot 0,5}{\sqrt{1-0,5^2}} \approx 3,63$

(2)



Harmonisessa värvähdyksessä liikkeessä

$$u = \hat{u} e^{i(\omega t + \phi)}$$

$$\dot{u} = i\omega \hat{u} e^{i(\omega t + \phi)} = i\omega u$$

$$u = \frac{\dot{u}}{i\omega}$$

Kimmisen systeemin rakenteellinen vaimennusvoima on kokemusten mukaan rakenteen kimmavoimiaan F_E verrannollinen ja vastukaiissauntainen materiaali-partikkelin nopeudelle \dot{u}

$$F_D = ig F_E = ig (-ku) = -igku = -igh \frac{\dot{u}}{i\omega} = -\frac{gk}{\omega} \dot{u}$$

Liikeyhtälöt

$$\sum F \rightarrow -ku - m\ddot{u} + F_D + F(t) = 0$$

$$-ku - m\ddot{u} - \frac{gk}{\omega} \dot{u} + F(t) = 0$$

$$m\ddot{u} + \frac{gk}{\omega} \dot{u} + ku = F(t) \quad ||:m$$

$$\ddot{u} + \frac{gk}{m} \dot{u} + \frac{k}{m} u = \frac{1}{m} \hat{F} \sin(\omega t) \quad , \quad \omega^2 = \frac{k}{m} \Leftrightarrow m = \frac{k}{\omega^2}$$

$$\ddot{u} + \frac{g\omega^2}{\omega} \dot{u} + \omega^2 u = \frac{1}{k} \omega^2 \sin(\omega t) \quad , \quad u_{st} = \frac{\hat{F}}{k}$$

$$\ddot{u} + \frac{g\omega^2}{\omega} \dot{u} + \omega^2 u = \omega^2 u_{st} \sin(\omega t)$$

(2)/1

Differentiaalilähtö on samaa muotoa kuin projun kaava (239)

$$(239) \Rightarrow \ddot{x} + 2\zeta\omega\dot{x} + \omega^2x = x_{st} \omega^2 \sin(\omega t)$$

nyt $2\zeta\omega = \frac{g\omega^2}{\omega}$, $2\zeta\frac{\omega}{\omega} = g$

vahvistuskerroin

$$(242) \Rightarrow \hat{A} = \frac{x_{st}}{\sqrt{[1 - (\frac{\omega}{\omega})^2]^2 + (2\zeta\frac{\omega}{\omega})^2}}$$

nyt $\hat{A} = \frac{u_{st}}{\sqrt{[1 - (\frac{\omega}{\omega})^2]^2 + g^2}}$

$$(243) \Rightarrow \varphi = \arctan \left[\frac{-2\zeta\frac{\omega}{\omega}}{1 - (\frac{\omega}{\omega})^2} \right]$$

nyt $\Rightarrow \phi = \arctan \left[\frac{-g}{1 - (\frac{\omega}{\omega})^2} \right]$

$$(241) \Rightarrow x_t = \hat{A} \sin(\omega t + \varphi)$$

nyt $\Rightarrow u_t = \hat{A} \sin(\omega t + \phi)$

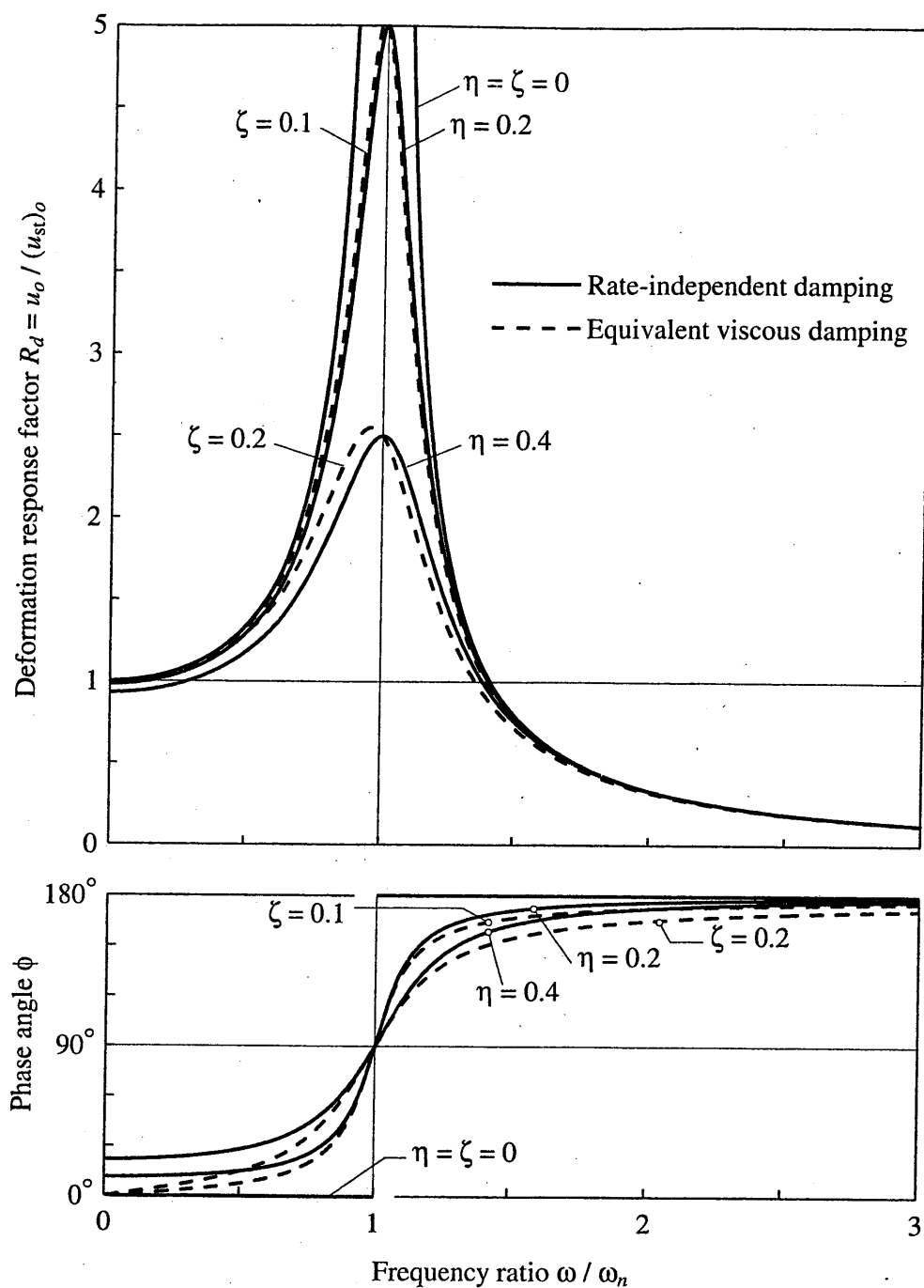


Figure 3.10.3 Response of system with rate-independent damping: exact solution and approximate solution using equivalent viscous damping.